



## Struktury niskowymiarowe

Pełen Hamiltonian w naszym wszechświecie ma 3 wymiary przestrzenne  $(x, y, z, t) = (\vec{R}, t)$

$$\left[ -\frac{\hbar^2}{2m} \nabla^2 + V(\vec{R}) \right] \psi(\vec{R}) = E\psi(\vec{R})$$

Dla  $V(\vec{R}) = V(z)$  mamy:

$$\left[ -\frac{\hbar^2}{2m} \left( \frac{\partial^2}{\partial x^2} + \frac{\partial^2}{\partial y^2} + \frac{\partial^2}{\partial z^2} \right) + V(z) \right] \psi(x, y, z) = E\psi(x, y, z)$$

Wzdłuż kierunków  $x$  i  $y$  mamy ruch swobodny:

$$\psi(x, y, z) = \exp(ik_x x) \exp(ik_y y) u(z)$$

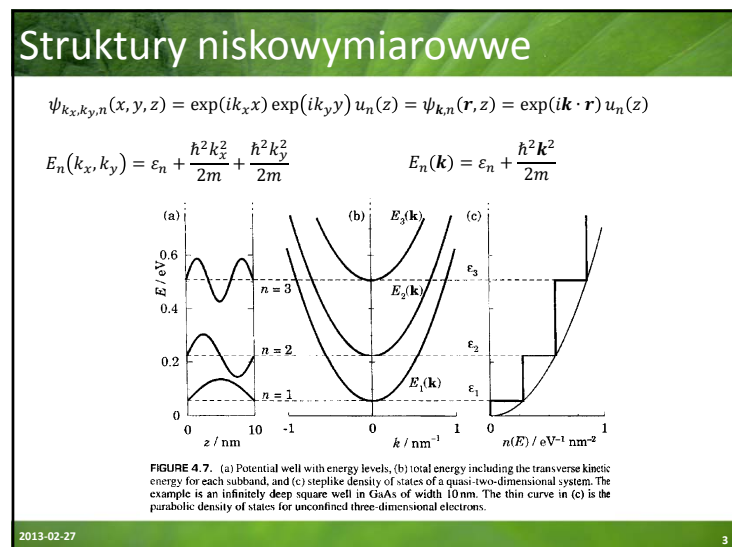
Można pokazać (przy tablicy!), że ostatecznie energie własne potencjału  $V(z)$  są w postaci:

$$\left[ -\frac{\hbar^2}{2m} \frac{d^2}{dz^2} + V(z) \right] u(z) = \varepsilon u(z) \quad \varepsilon = E - \frac{\hbar^2 k_x^2}{2m} - \frac{\hbar^2 k_y^2}{2m}$$

131

2013-02-27

2



3

## Komentarz o paśmie przewodnictwa

W zależności od półprzewodnika dno pasma przewodnictwa może być zbudowane z różnych dolin – ta sama heterostruktura może być studnią w jednym paśmie (np.  $\Gamma$ ) i barierą w innym (np.  $X$ )

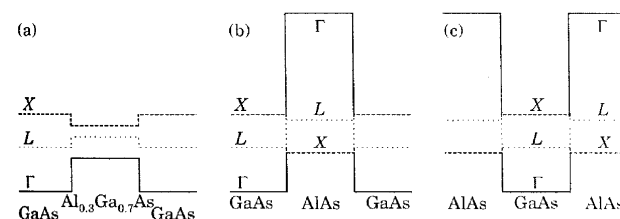


FIGURE 3.8. Barriers and wells in  $\text{GaAs}-\text{Al}_x\text{Ga}_{1-x}\text{As}$ , showing the three lowest conduction bands. (a) Barrier of  $\text{Al}_{0.3}\text{Ga}_{0.7}\text{As}$ , where  $\Gamma$  is the lowest minimum throughout. (b) Barrier of  $\text{AlAs}$ , where  $X$  is the lowest minimum in the barrier. (c) Well of  $\text{GaAs}$  surrounded by  $\text{AlAs}$ .

2013-02-27

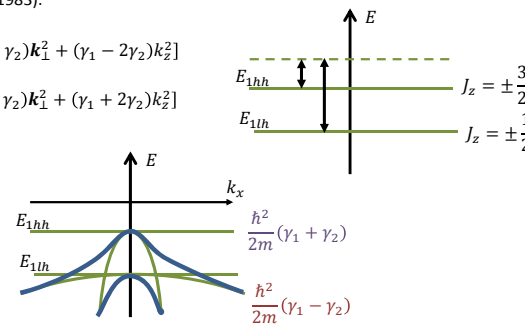
4

## Komentarz o paśmie walencyjnym

Obecność studni zmieni a symetrię kryształu (np. studnia kwantowa na kierunku [001] odpowiada ciśnieniu jednoosiowemu przyłożonemu prostopadle do warstwy). Trzeba rozwiązać równanie  $\mathbf{kp}$  (Chemla 1983):

$$E_{hh}(\mathbf{k}) = -\frac{\hbar^2}{2m}[(\gamma_1 + \gamma_2)\mathbf{k}_\perp^2 + (\gamma_1 - 2\gamma_2)k_z^2]$$

$$E_{lh}(\mathbf{k}) = -\frac{\hbar^2}{2m}[(\gamma_1 - \gamma_2)\mathbf{k}_\perp^2 + (\gamma_1 + 2\gamma_2)k_z^2]$$

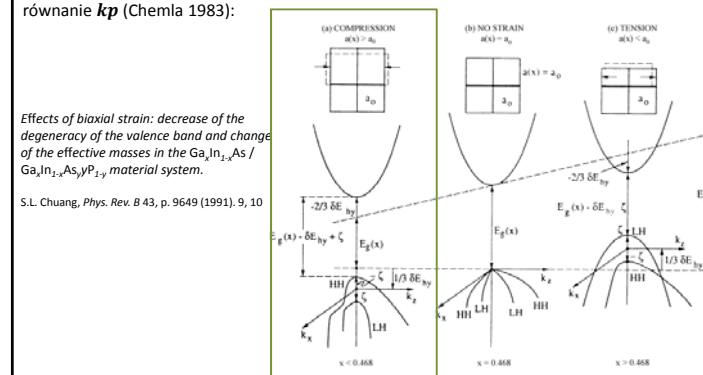


2013-02-27

5

## Komentarz o paśmie walencyjnym

Obecność studni zmieni a symetrię kryształu (np. studnia kwantowa na kierunku [001] odpowiada ciśnieniu jednoosiowemu przyłożonemu prostopadle do warstwy). Trzeba rozwiązać równanie  $\mathbf{kp}$  (Chemla 1983):



2013-02-27

6

## Potencjał harmoniczny

$$\left[ -\frac{\hbar^2}{2m} \frac{d^2}{dz^2} + \frac{1}{2} m \omega_0^2 z^2 \right] \psi(z) = E \psi(z) \quad \varepsilon = \frac{E}{\hbar \omega_0} \quad \xi = \sqrt{\frac{m \omega_0}{\hbar}} z$$

$$\left( \frac{d}{d\xi} - \xi \right) \left( \frac{d}{d\xi} + \xi \right) A e^{\frac{\xi^2}{2}} = (-2\varepsilon_0 + 1) A e^{\frac{\xi^2}{2}} = 0 \quad \Rightarrow -2\varepsilon_0 + 1 = 0 \Rightarrow \varepsilon_0 = \frac{1}{2}$$

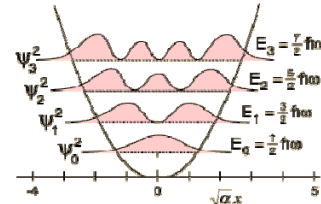
$$\varepsilon_n = n + \frac{1}{2}$$

$$E_n = \hbar \omega_0 \left( n + \frac{1}{2} \right)$$

$$\psi_n(z) = A_n H_n \left( \sqrt{\frac{m \omega_0}{\hbar}} z \right) \exp \left( -\frac{m \omega_0}{2\hbar} z^2 \right)$$

$H_n$  - wielomiany Hermite'a

$$A_n = \left( 2^n n! \sqrt{\frac{\pi \hbar}{m \omega}} \right)^{-1/2}$$



2013-02-27

7

## Kropki kwantowe

2013-02-27

8

## Struktury niskowymiarowe

$$\psi_{k_x, k_y, n}(x, y, z) = \exp(ik_x x) \exp(ik_y y) u_n(z) = \psi_{\mathbf{k}, n}(\mathbf{r}, z) = \exp(i\mathbf{k} \cdot \mathbf{r}) u_n(z)$$

$$E_n(k_x, k_y) = \varepsilon_n + \frac{\hbar^2 k_x^2}{2m} + \frac{\hbar^2 k_y^2}{2m}$$

$$E_n(\mathbf{k}) = \varepsilon_n + \frac{\hbar^2 \mathbf{k}^2}{2m}$$

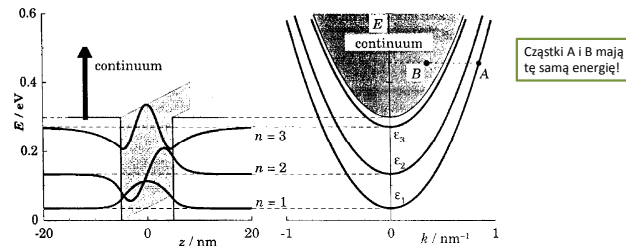


FIGURE 4.9. Quasi-two-dimensional system in a potential well of finite depth. Electrons with the same total energy can be bound in the well (A) or free (B).

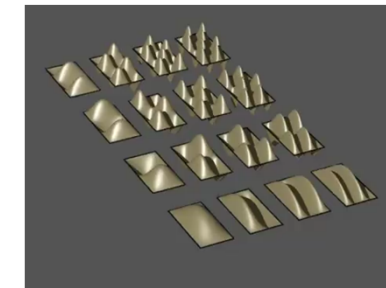
2013-02-27

9

## Studnie 2D i 3D

Drut prostokątny ( $a \times b$ ) – rozwiązania typu:

$$\varepsilon_{n_x, n_y} = \frac{\hbar^2 \pi^2}{2m} \left( \frac{n_x^2}{a^2} + \frac{n_y^2}{b^2} \right)$$



[http://wn.com/2d\\_and\\_3d\\_standing\\_wave](http://wn.com/2d_and_3d_standing_wave)

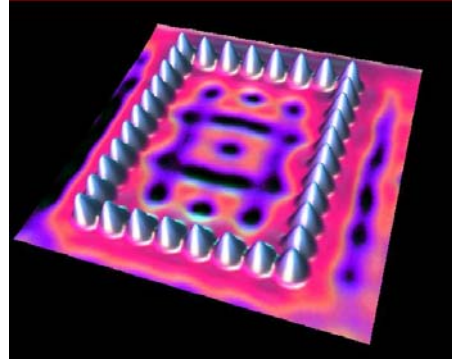
2013-02-27

10

## Studnie 2D i 3D

Drut prostokątny ( $a \times b$ ) – rozwiązania typu:

$$\varepsilon_{n_x, n_y} = \frac{\hbar^2 \pi^2}{2m} \left( \frac{n_x^2}{a^2} + \frac{n_y^2}{b^2} \right)$$



<http://www.almaden.ibm.com/kls/stru/images/sym14.jpg>

2013-02-27

11

## Studnie 2D i 3D

Studnia cylindryczna (o nieskończonych ścianach)

$$-\frac{\hbar^2}{2m} \left( \frac{\partial^2}{\partial r^2} + \frac{1}{r} \frac{\partial}{\partial r} + \frac{1}{r^2} \frac{\partial^2}{\partial \theta^2} + V_0 \right) \psi(r, \theta) = E \psi(r, \theta)$$

$$\psi(r, \theta) = u(r) \exp(il\theta)$$

głębokość potencjalnu zależy od  $l^2$

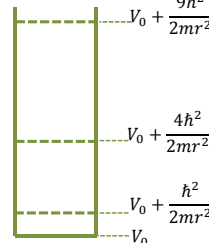
$$\left[ -\frac{\hbar^2}{2m} \left( \frac{\partial^2}{\partial r^2} + \frac{1}{r} \frac{\partial}{\partial r} \right) + \frac{\hbar^2 l^2}{2mr^2} + V_0 \right] u(r) = Eu(r)$$

Co daje rozwiązania w postaci f. Bessela

$$r^2 \frac{d^2 u}{dr^2} + r \frac{du}{dr} + [(kr)^2 - l^2] u = 0 \quad J_l(kr) \sim \sqrt{\frac{2}{\pi kr}} \cos \left( kr - \frac{1}{2} l\pi - \frac{1}{4}\pi \right)$$

$$k = \sqrt{2m(E - V_0)}/\hbar$$

$$\phi_{nl}(r) \propto J_l \left( \frac{j_{l,n} r}{a} \right) \exp(il\theta) \quad \varepsilon_{nl} = \frac{\hbar^2 j_{l,n}^2}{2ma}$$

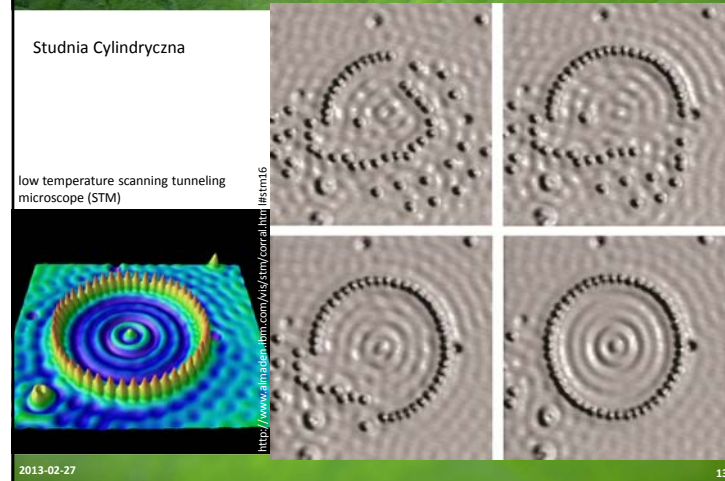


Miejsca zerowe f. Bessela są w  $j_{l,n}$

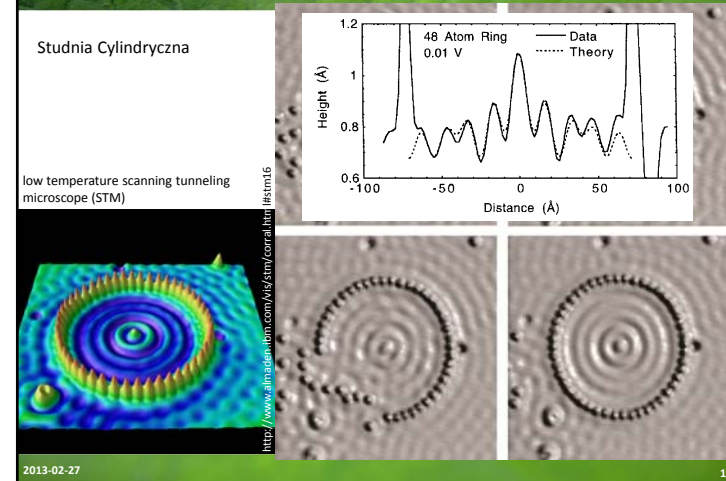
2013-02-27

12

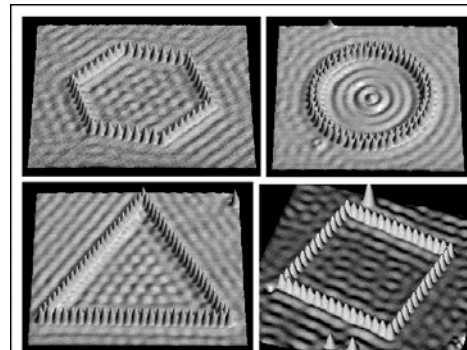
## Studnie 2D i 3D



## Studnie 2D i 3D



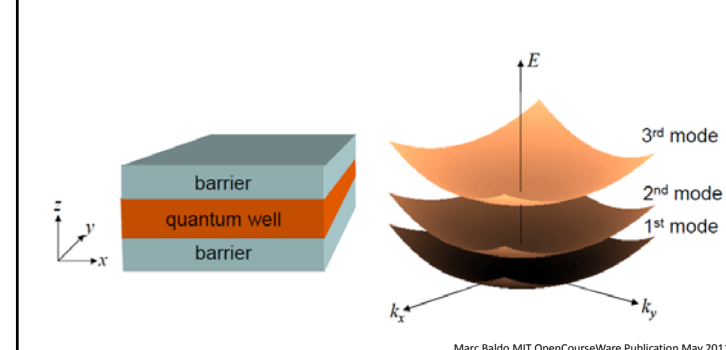
## Studnie 2D i 3D



2013-02-27

15

## Studnie 2D i 3D



2013-02-27

16

## Druty kwantowe

Figure 9 Quantum wire fabrication based on nanoscale etching and re-growth

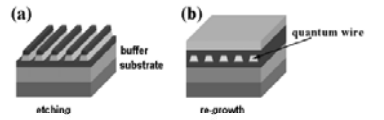


Figure 12 Selective growth of quantum wires on a pre-patterned V-groove substrate

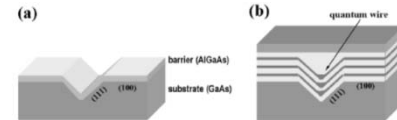
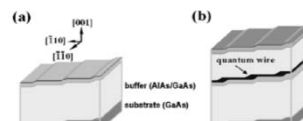


Figure 11 Growth of quantum wires on a vicinal surface with multistep terraces



2013-02-27

17

## Druty kwantowe

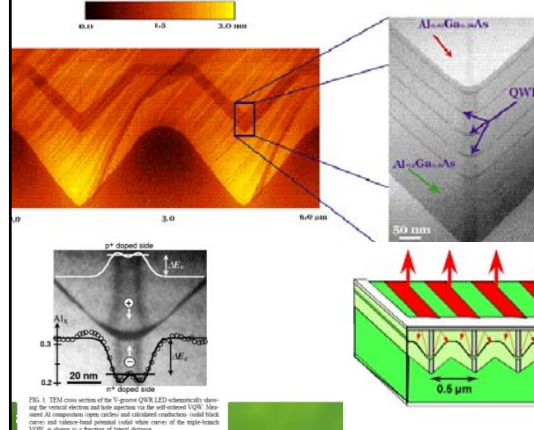
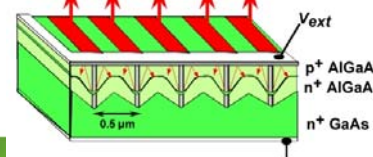
ÉCOLE POLYTECHNIQUE  
FÉDÉRALE DE LAUSANNE

FIG. 1. TEM cross section of the V-groove QWR LED schematically showing the vertical electric and hole injection via the self-selecting VGR. Main figure shows the potential profile across the V-groove. The inset shows the current and voltage-biased potential (solid white curve) of the triple-brach VGR as a function of time during VGR.



## Druty kwantowe

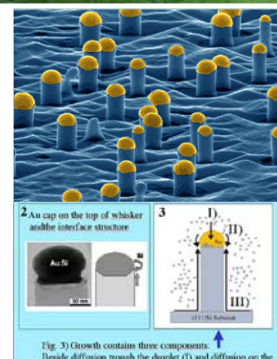
[www.ece.odu.edu/g\\_seminar.htm](http://www.ece.odu.edu/g_seminar.htm)

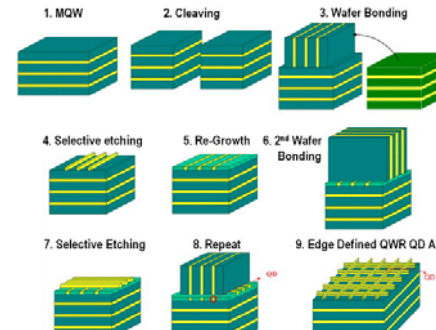
Fig. 3) Growth contains three components:  
Bulide diffusion through the droplet (I) and diffusion on the droplet surface (II), there is a strong surface diffusion component (III) along the whisker. Si material is coming from the surrounding of the whisker.

<http://www.mpi-halle.mpg.de/~mbe/>

2013-02-27

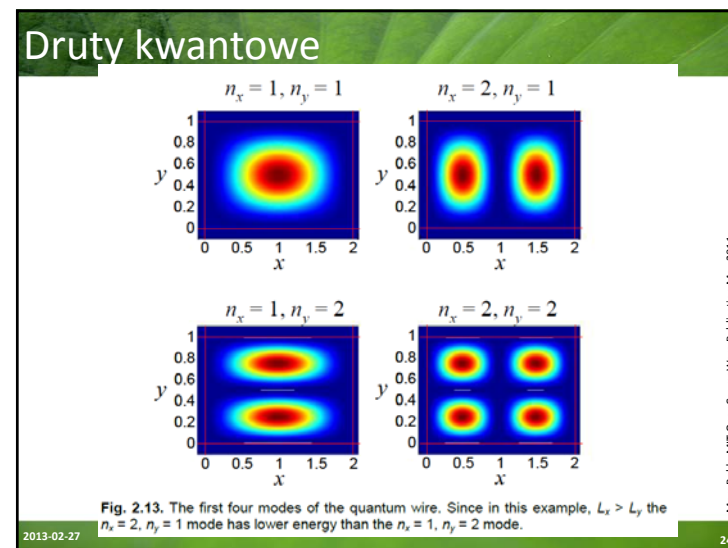
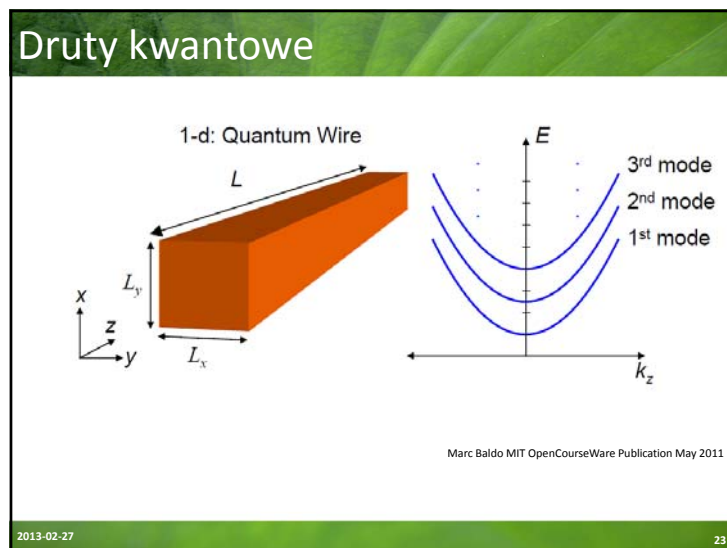
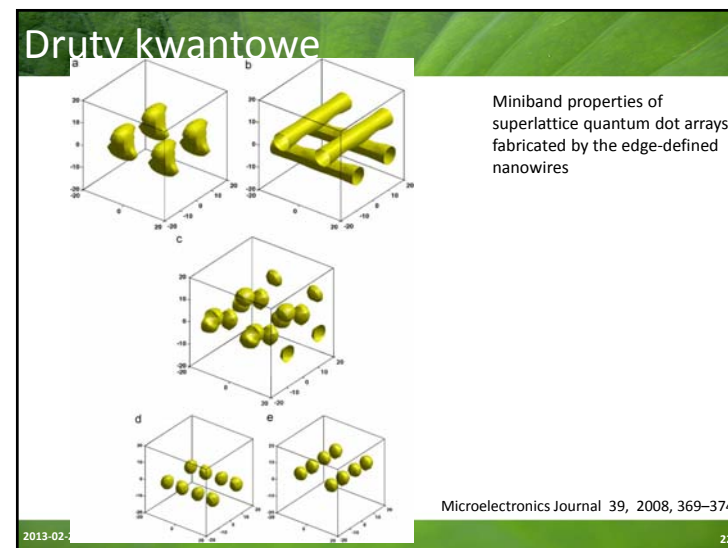
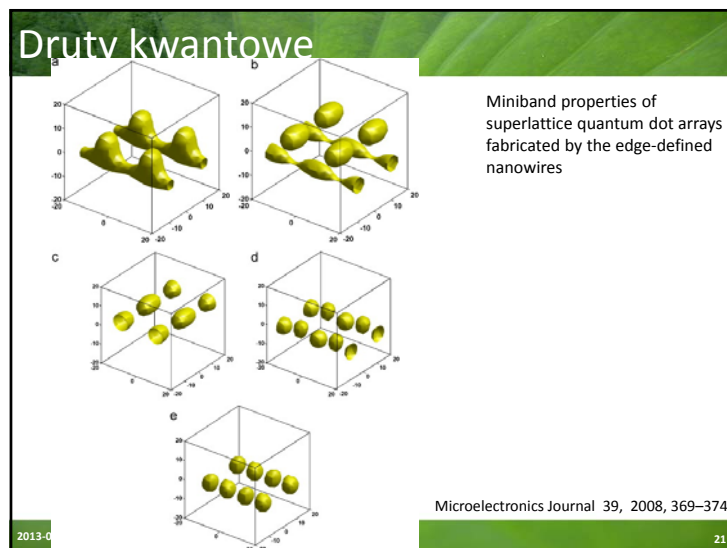
19

## Druty kwantowe

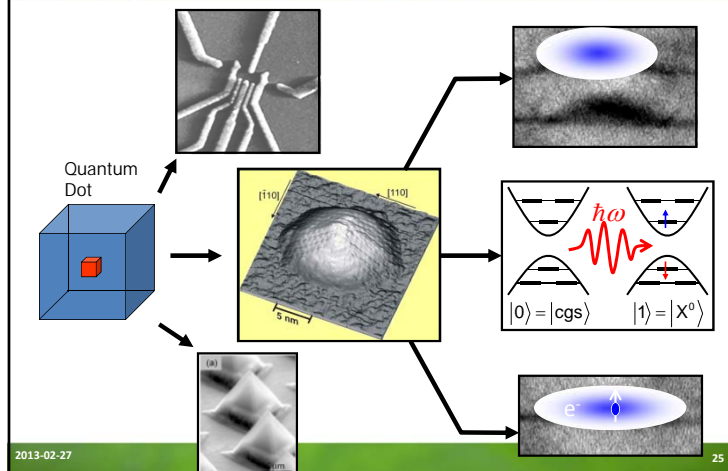


Microelectronics Journal 39, 2008, 369–374

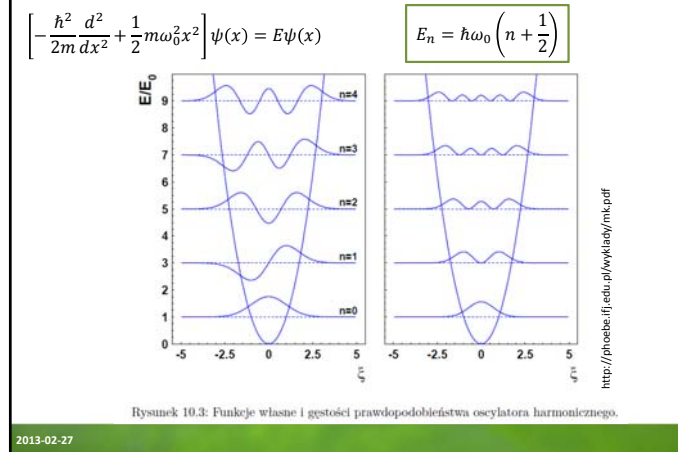
20



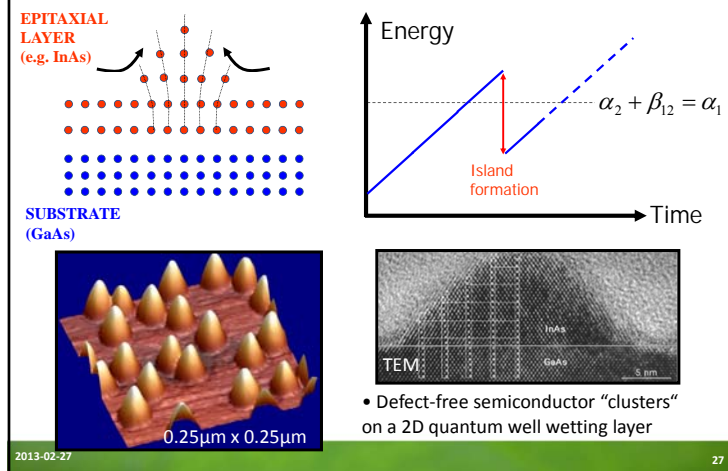
## Kropki kwantowe



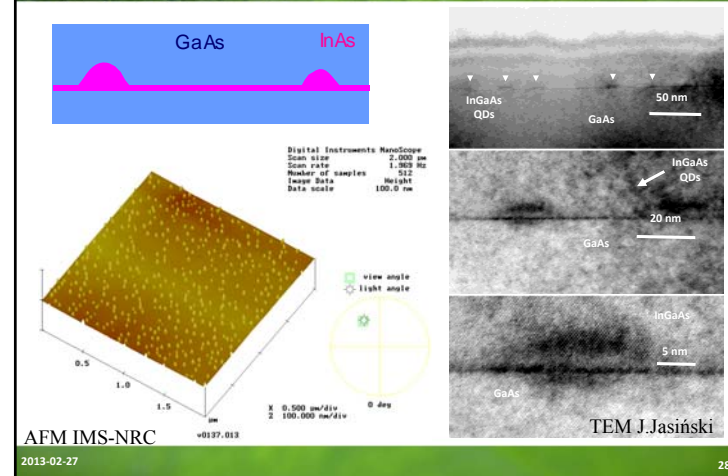
## Potencjał harmoniczny



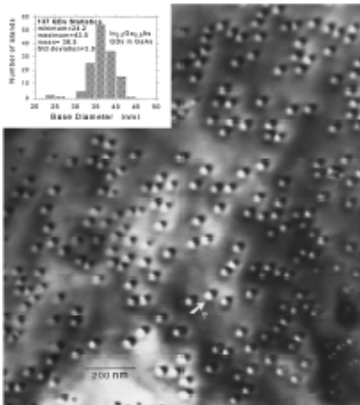
## Potencjał harmoniczny



## Potencjał harmoniczny 2D



## Potencjał harmoniczny 2D



Kropki kwantowe  
InGaAs/GaAs

S.Raymond et al *Phys. Rev. B* **54**; 11548 (1995)

2013-02-27

29

## Potencjał harmoniczny 2D

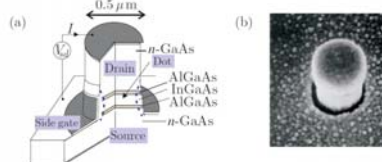


Figure 1.4: (a) Schematic diagram of a semiconductor heterostructure. The dot is located between the two AlGaAs tunnel barriers. A negative voltage applied to the side gate squeezes the dot thus reducing the effective diameter of the dot (dashed curves). (b) Scanning electron micrographs of a circular quantum dot pillar. The pillar has width of about  $0.5\mu\text{m}$ . After Kouwenhoven *et al.* [2001].

Fig. 1. (a) Schematic diagram of the gated DBH. (b) Scanning electron micrograph image of a typical section of part of a wire test mesa. There is no short between the metal on the top (A), and the gate metal on the etched surface (B). The two white parallel markers show the position of the DBH. (c) One-dimensional self-consistent band diagram calculated for the DBH with no lateral confinement.

*Jpn. J. Appl. Phys.* Vol. 36 (1997) pp. 3917–3923  
Part 1, No. 6B, June 1997

2013-02-27

30

## Potencjał harmoniczny 2D

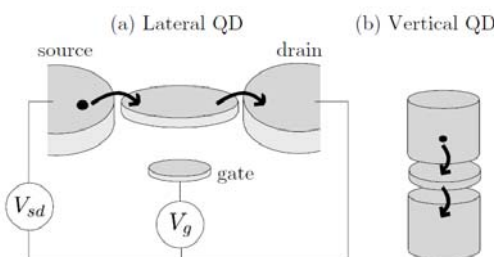


Figure 1.5: Electron flow in planar (a) and vertical (b) QD setup.

2013-02-27

31

## Potencjał harmoniczny 2D

$$E_n^x = \hbar\omega_0 \left( n_x + \frac{1}{2} \right) \quad \text{w kierunku } x \text{ i taka sama w } y$$

$$E_n^y = \hbar\omega_0 \left( n_y + \frac{1}{2} \right)$$

$$E_n = E_n^x + E_n^y = \hbar\omega_0(N+1)$$

Degeneracja?  $N = n_x + n_y$

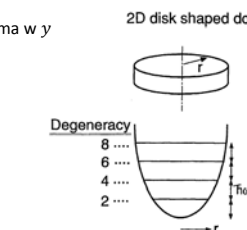


Fig. 5. Schematic model for the vertical dot with a harmonic lateral potential. The single-particle states are laterally confined into discrete equidistant 0D levels whose degeneracies are 2, 4, 6, 8, ... including spin degeneracy from the lowest level.

*Jpn. J. Appl. Phys.* Vol. 36 (1997) pp. 3917–3923  
Part 1, No. 6B, June 1997

32

## Potencjał harmoniczny 2D

$$E_n^x = \hbar\omega_0 \left( n_x + \frac{1}{2} \right) \text{ w kierunku } x \text{ i taka sama w } y$$

$$E_n^y = \hbar\omega_0 \left( n_y + \frac{1}{2} \right)$$

$$E_n = E_n^x + E_n^y = \hbar\omega_0(N+1)$$

$$\text{Degeneracja? } N = n_x + n_y$$

$$g_N = N + 1$$

$N$	$(n_x, n_y)$
0	(0,0)
1	(1,0) (0,1)
2	(2,0) (1,1) (0,2)
3	(3,0) (2,1) (1,2) (0,3)

2013-02-27

33

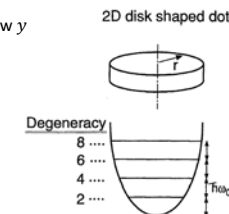
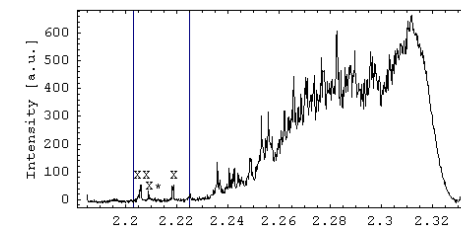
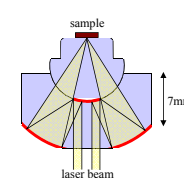


Fig. 5. Schematic model for the vertical dot with a harmonic lateral potential. The single-particle states are laterally confined into discrete equidistant 0D levels whose degeneracies are 2, 4, 6, 8, ... including spin degeneracy from the lowest level.

Jpn. J. Appl. Phys. Vol. 36 (1997) pp. 3917-3923  
Part 1, No. 6B, June 1997

## Spektroskopia kropek kwantowych



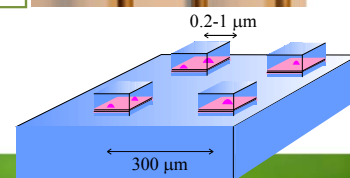
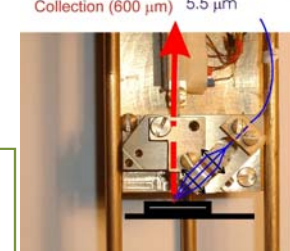
2013-02-27

34

## Spektroskopia kropek kwantowych



Collection (600  $\mu\text{m}$ )  
Single mode fiber - mode field diameter 5.5  $\mu\text{m}$

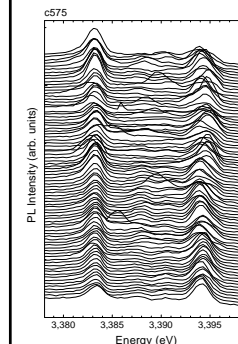


A.Babinski, et al. Physica E 26 (2005) 190

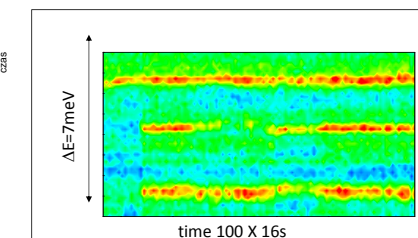
2013-02-27

35

## Spektroskopia kropek kwantowych



FUW  
Hoża 69

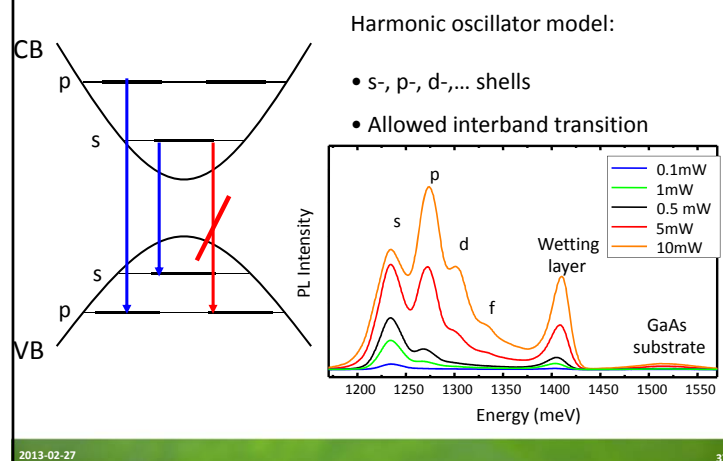


$\mu$ PL- Katarzyna Surowiecka et al.

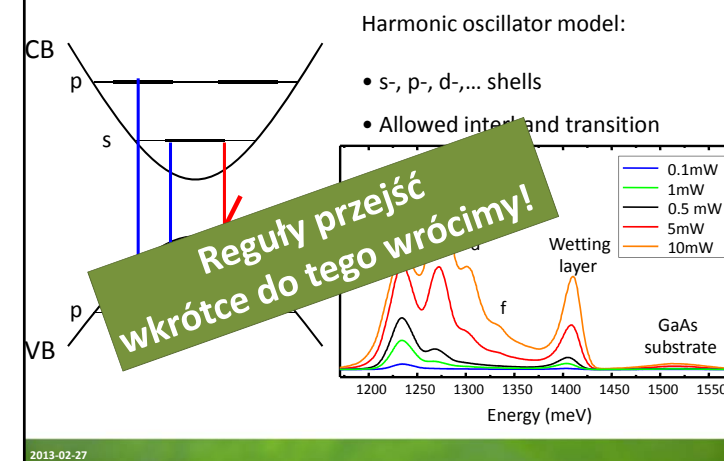
2013-02-27

36

## Potencjał harmoniczny 2D



## Potencjał harmoniczny 2D



## Potencjał harmoniczny 2D

### Szkic dowodu

Funkcja Blocha nośnika w krysztale::

$$\Psi(\vec{r}) = \sum_{n,k} c_{n,k} u_{n,k}(\vec{r}) e^{i\vec{k}\vec{r}}$$

Dla elektronu:

$$\Psi_e(\vec{r}) \approx \sum_k c_{1,k} u_{\Gamma_6,0}(\vec{r}) e^{i\vec{k}\vec{r}} = u_{\Gamma_6,0}(\vec{r}) F_e(\vec{r})$$

Dla dziury:

$$\Psi_v(\vec{r}) \approx \sum_{J_z=\pm 3/2, \pm 1/2, k} c_{J_z,k} u_{\Gamma_8,J_z}(\vec{r}) e^{i\vec{k}\vec{r}} = \sum_{J_z=\pm 3/2, \pm 1/2, k} u_{\Gamma_8,J_z}(\vec{r}) F_{J_z}(\vec{r})$$

Dipolowe przejścia optyczne międzymiędzypasmowe:

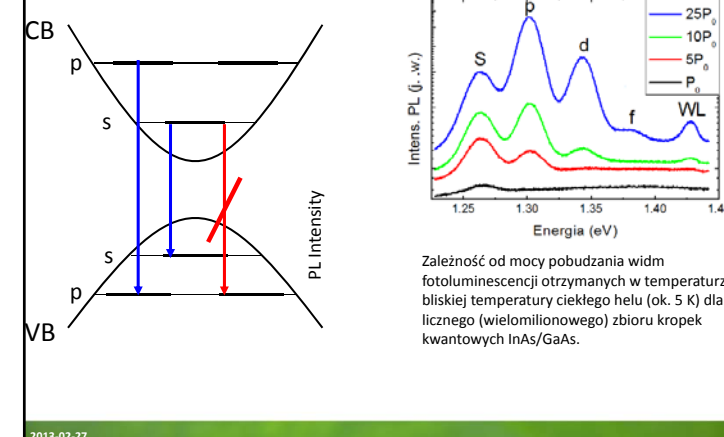
$$\langle \Psi_e(\vec{r}) | \vec{p} | \Psi_{v,J_z}(\vec{r}) \rangle = \langle u_{\Gamma_6,0}(\vec{r}) | u_{\Gamma_8,J_z}(\vec{r}) \rangle \langle F_e(\vec{r}) | \vec{p} | F_{J_z}(\vec{r}) \rangle + \langle u_{\Gamma_6,0}(\vec{r}) | \vec{p} | u_{\Gamma_8,J_z}(\vec{r}) \rangle \langle F_e(\vec{r}) | F_{J_z}(\vec{r}) \rangle$$

$\approx 0$

2013-02-27

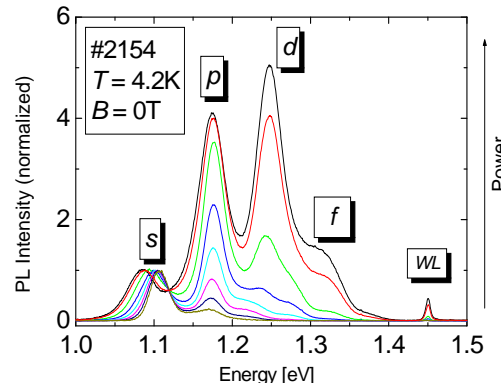
39

## Potencjał harmoniczny 2D



Zależność od mocy pobudzania widm fotoluminescencji otrzymanych w temperaturze bliskiej temperatury ciekłego helu (ok. 5 K) dla liczniego (wielomilionowego) zbioru kropek kwantowych InAs/GaAs.

## Potencjał harmoniczny 2D

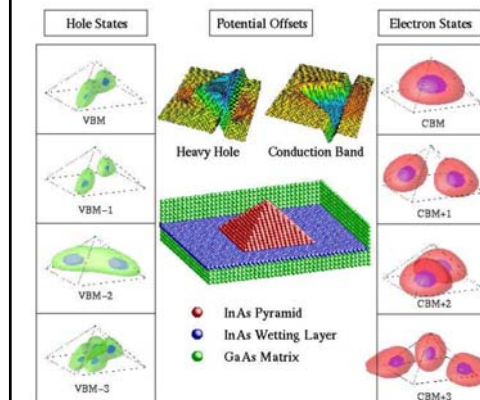


Adam Babiński

41

2013-02-27

## Potencjał harmoniczny 2D



The electronic structure of a strained InAs (110) pyramidal quantum dot embedded within GaAs. The strain-modified band offsets are shown above the atomic structure. They exhibit a well for both heavy holes and electrons.

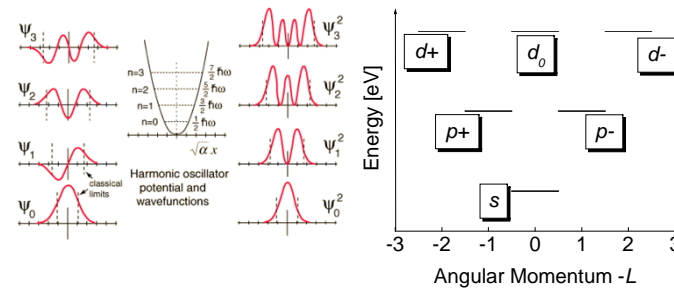
Isosurface plots of the four highest hole states and four lowest electron states, as obtained from pseudopotential calculations, appear on the left and right. CBM means conduction band minimum and VBM valence band minimum

MRS Bulletin Vol. 23 No. 2, p. 35 (1998).

2013-02-27

42

## Potencjał harmoniczny 2D

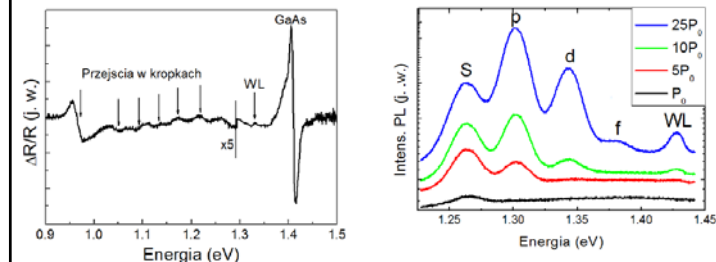


Adam Babiński

43

2013-02-27

## Potencjał harmoniczny 2D



Widmo fotoodbięcia z temperatury pokojowej dla struktury z kropkami kwantowymi In-As/GaAs [W. Rudno-Rudziński, et al. Solid State Commun. 135, 232 (2005)]

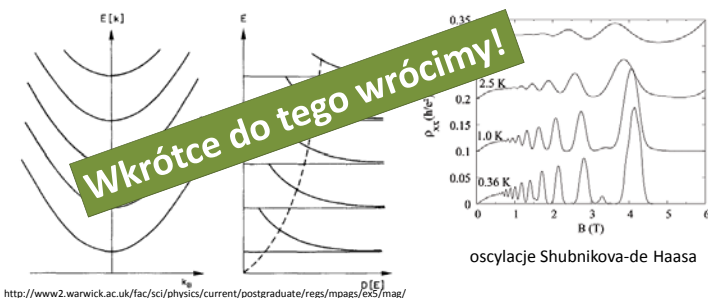
Zależność od mocy pobudzania widm fotoluminescencji otrzymanych w temperaturze bliskiej temperatury ciekłego helu (ok. 5 K) dla liczniego (wielomilionowego) zbioru kropek kwantowych InAs/GaAs.

44

## Potencjał harmoniczny 2D

$$\left[ -\frac{\hbar^2}{2m} \frac{d^2}{dx^2} + \frac{1}{2} m \omega_0^2 x^2 \right] \psi(x) = E \psi(x) \quad \omega_0 = \omega_c = \frac{eB}{m^*}$$

Ważny przykład – cząstka w polu magnetycznym. Częstość cyklotronowa  $\omega_c$



2013-02-27

45

## Potencjał harmoniczny 3D

$$E_n^x = \hbar \omega_0 \left( n_x + \frac{1}{2} \right) \text{ w kierunku } x, y \text{ i } z$$

$$E_n = E_n^x + E_n^y + E_n^z = \hbar \omega_0 \left( N + \frac{3}{2} \right)$$

Degeneracja?  $N = n_x + n_y + n_z$

$$g_N = \frac{(N+1)(N+2)}{2}$$

$N$	$(n_x, n_y, n_z)$
0	(0,0,0)
1	(1,0,0) (0,1,0) (0,0,1)
2	(2,0,0) (0,2,0) (0,0,2) (1,1,0) (1,0,1) (0,1,1)
3	3x(3,0,0) 1x(1,1,1) 6x(2,0,1)

2013-02-27

46

## Sferyczne kropki kwantowe

Przerwa energetyczna w sferycznych kropkach kwantowych [Brus, L. E. J. Phys. Chem. 1986, **90**, 2555, Brus. L. E. J. Chem. Phys. 1984, **80**, 4403]

$$E_g^*(R) = E_g^{bulk} + \frac{\hbar^2 \pi^2}{2R^2 m_0} \left( \frac{1}{m_e} + \frac{1}{m_h} \right) - \frac{1.8 e^2}{4\pi \epsilon_0 R} \quad R - \text{średnica}$$

Lokalizacja kwantowa (quantum localization): mniejsza cząstka – więcej wektorów k potrzebnych do opisu stanu nośnika. Czyli cząstka w studni ZWIĘKSZA energię przerwy

Część koulombowska oddz. e – h z uwzględnieniem polaryzacji (sfera) OBNIŻA energię. Potencjał obliczony dla funkcji w postaci  $\Psi_n(r)$  ( $n = 1$ ):

$$\varepsilon_n = \frac{\hbar^2 k_n^2}{2m} = \frac{\hbar^2 n^2 \pi^2}{2mL^2}$$

$$\Psi_n(r) = \frac{C_n}{r} \sin\left(\frac{n\pi r}{R}\right)$$

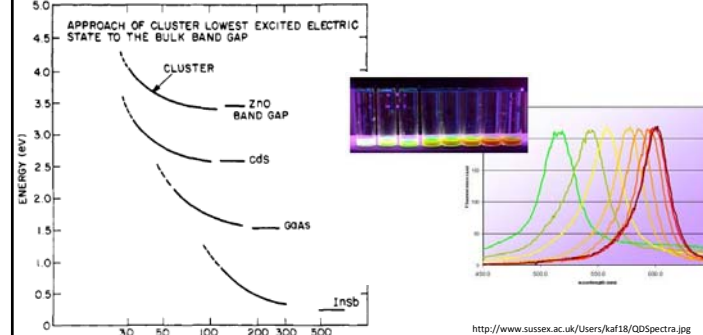


2013-02-27

47

## Sferyczne kropki kwantowe

Przerwa energetyczna w sferycznych kropkach kwantowych [Brus, L. E. J. Phys. Chem. 1986, **90**, 2555, Brus. L. E. J. Chem. Phys. 1984, **80**, 4403]

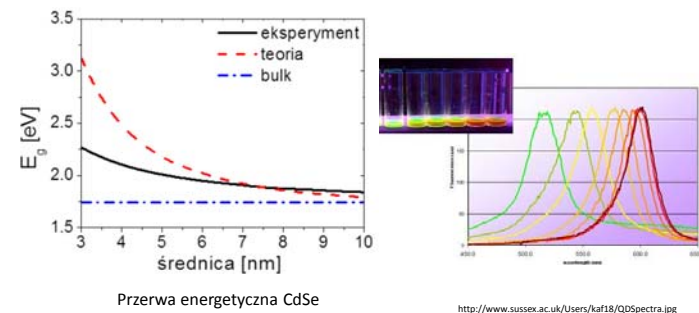


2013-02-27

48

## Sferyczne kropki kwantowe

Przerwa energetyczna w sferycznych kropkach kwantowych [Brus, L. E. J. Phys. Chem. 1986, **90**, 2555, Brus. L. E. J. Chem. Phys. 1984, **80**, 4403]



2013-02-27

49

## Sferyczne kropki kwantowe

Przerwa energetyczna w sferycznych kropkach kwantowych [Brus, L. E. J. Phys. Chem. 1986, **90**, 2555, Brus. L. E. J. Chem. Phys. 1984, **80**, 4403]

$$E_g^*(R) = E_g^{bulk} + \frac{\hbar^2 \pi^2}{2R^2 m_0} \left( \frac{1}{m_e} + \frac{1}{m_h} \right) - \frac{1.8e^2}{4\pi \epsilon \epsilon_0 R}$$

*R – średnica*

Lokalizacja kwantowa (quantum localization): mniejsza cząstka – więcej wektorów  $k$  potrzebnych do opisu stanu nośnika. Czyli cząstka w studni! ZWIĘKSZA energię przerwy

Część kulembowska oddz.  $e - h$  z uwzględnieniem polaryzacji (sfera) OBNIŻA energię. Potencjał obliczony dla funkcji w postaci  $\Psi_n(r)$  ( $n = 1$ ):

$$\epsilon_n = \frac{\hbar^2 k_n^2}{2m} = \frac{\hbar^2 n^2 \pi^2}{2mL^2}$$

$$\Psi_n(r) = \frac{C_n}{r} \sin\left(\frac{n\pi r}{R}\right)$$



2013-02-27

50

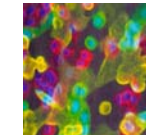
## Sferyczne kropki kwantowe

## Sferyczne kropki kwantowe

<http://www.medicine.tcd.ie/molecular-medicine/gallery/pictures/scientific-pictures.php>

### Synthesis Techniques

- Vapor phase (molecular beams, flame synthesis etc...)
- Solution phase synthesis
- Aqueous Solution
- Nonaqueous Solution
- Typically the rapid reduction of organometallic precursors in hot organics with surfactants

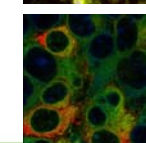
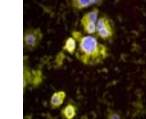


### Semiconductor Nanoparticles

II-VI: CdS, CdSe, PbS, ZnS

III-V: InP, InAs

MO: TiO<sub>2</sub>, ZnO, Fe<sub>2</sub>O<sub>3</sub>, PbO, Y<sub>2</sub>O<sub>3</sub>



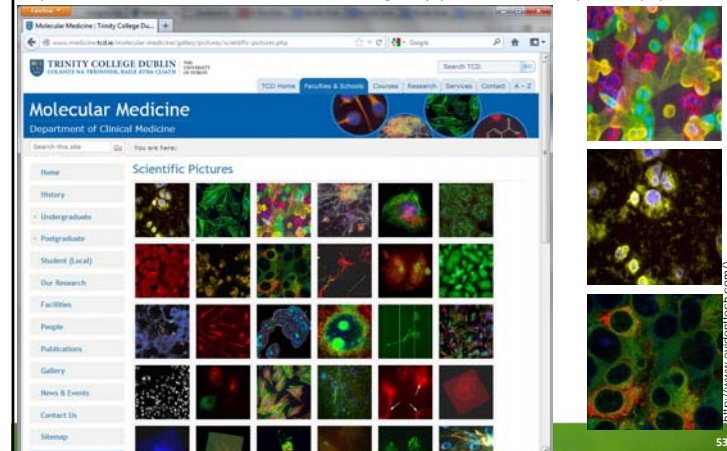
2013-02-27

51

2013-02-27

## Sferyczne kropki kwantowe

<http://www.medicine.tcd.ie/molecular-medicine/gallery/pictures/scientific-pictures.php>



53

## Sferyczne kropki kwantowe

<http://www.microscopyu.com/articles/fluorescence/index.html>

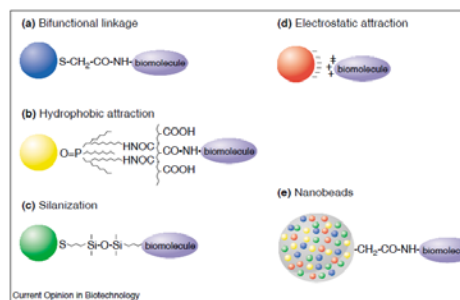


http://www.evidentech.com/

54

## Sferyczne kropki kwantowe

Schematic illustration of biocjugation methods. (a) Use of a bifunctional ligand such as mercaptosuccinic acid for linking QDs to biomolecules. [8\*\*]. (b) TOPO-capped QDs bound to a modified acrylic acid polymer by hydrophobic forces. (c) QD solubilization and biocjugation using a mercaptosilane compound [7\*\*]. (d) Positively charged biomolecules are linked to negatively charged QDs by electrostatic attraction [9]. (e) Incorporation of QDs in microbeads and nanobeads [20\*\*].



### Luminescent quantum dots for multiplexed biological detection and imaging

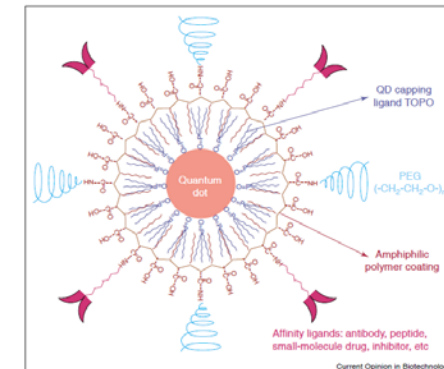
W. Chan et al. Current Opinion in Biotechnology 2002, 13:40–46

2013-02-27

55

## Sferyczne kropki kwantowe

In vivo molecular and cellular imaging with quantum dots Xiao Hu Gao Current Opinion in Biotechnology 2005, 16:63–72



The structure of a multifunctional QD probe. Schematic illustration showing the capping ligand TOPO, an encapsulating copolymer layer, tumor-targeting ligands (such as peptides, antibodies or small-molecule inhibitors), and polyethylene glycol (PEG).

2013-02-27

56

## Sferyczne kropki kwantowe

*Synthesis of multi-shell nanocrystals by a single step coating process, Nanotechnology 2006*

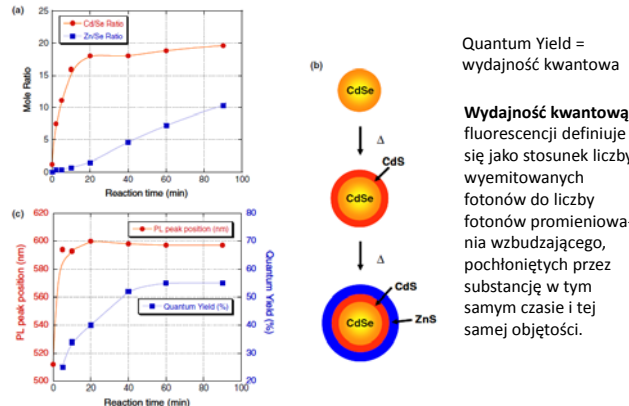
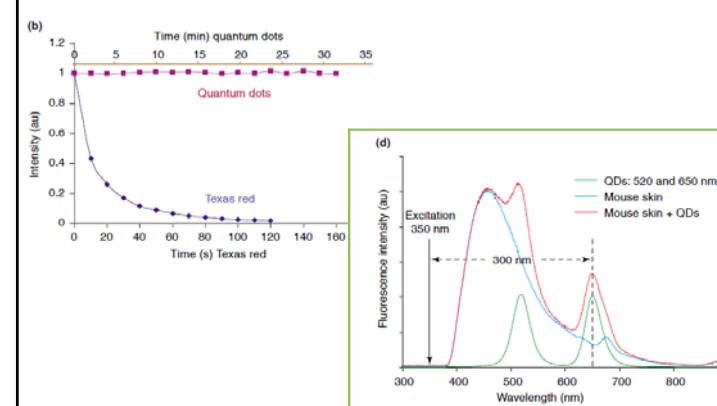


Figure 1. (a) Elemental ratios of Cd to Se and Zn to Se (measured by ICP), (b) a conceptual drawing of the CdSe core → CdSe/CdS core/shell → CdSe/CdS/ZnS core/multi-shell structure, and (c) PL peak positions, and QYs of CdSe/CdS/ZnS nanocrystals taken at different time intervals during the reaction.

57

## Sferyczne kropki kwantowe

*In vivo molecular and cellular imaging with quantum dots Xiaohu Gao Current Opinion in Biotechnology 2005, 16:63–72*

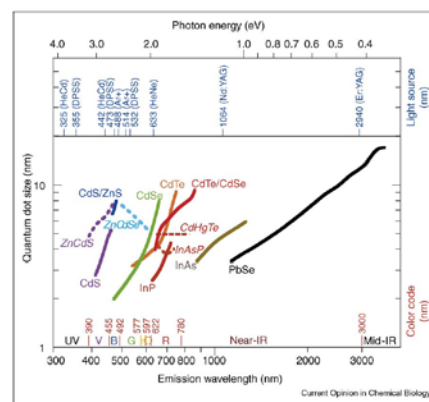


2013-02-27

58

## Sferyczne kropki kwantowe

*Current Opinion in Chemical Biology 2006, 10:423–429 Nanoscale controlled self-assembled monolayers and quantum dots*

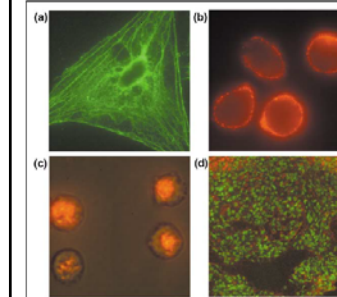


2013-02-27

59

## Sferyczne kropki kwantowe

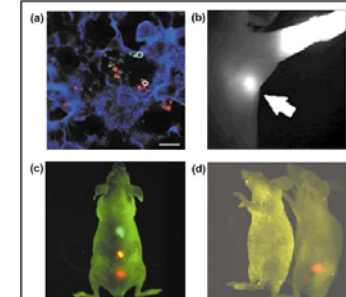
*Figure 4*



*Figure 4*  
Fluorescence micrographs of QD-stained cells and tissues. (a) Actin staining (green) and QDs (red) in 3T3 fibroblast cells. (b) Live MDA-MB-231 breast cancer cells coated with anti-CD-2 antibody conjugate targeting the unknown plasminogen receptor. (c) Intracellular labeling of live mammalian cells using QD-Tat peptide conjugates [25\*]. (d) Intracellular labeling of live mammalian cells using QD-Tat peptide conjugates [25\*].

*In vivo molecular and cellular imaging with quantum dots*  
Xiaohu Gao Current Opinion in Biotechnology 2005, 16:63–72

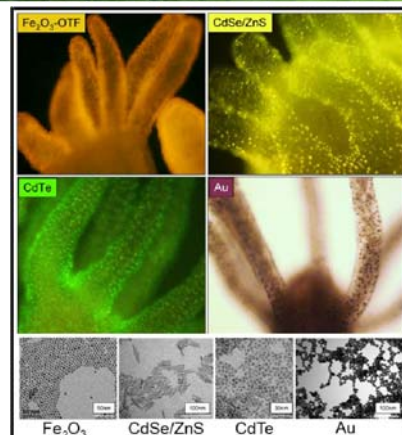
*Figure 5*



*Figure 5*  
Fluorescence micrographs of QD-stained cells and tissues. (a) Ex vivo tissue examination of QD-labeled cancer cells trapped in a mouse lung [44\*]. (b) Near-infrared fluorescence of water-soluble type II QDs taken up by sentinel lymph nodes [49\*]. (c) In vivo simultaneous imaging of multicore QD-encoded microbeads injected into a live mouse [25\*]. (d) Molecular targeting and in vivo imaging of a prostate tumor in mouse using a QD-anti-body conjugate (red) [25\*].

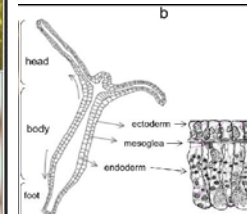
60

## Sferyczne kropki kwantowe



2013-02-27

An Ancient Model Organism to Test In Vivo Novel Functional Nanocrystals  
By Claudia Tortiglione  
“Biomedical Engineering - From Theory to Applications”, Edited by Reza Fazel-Rezai,

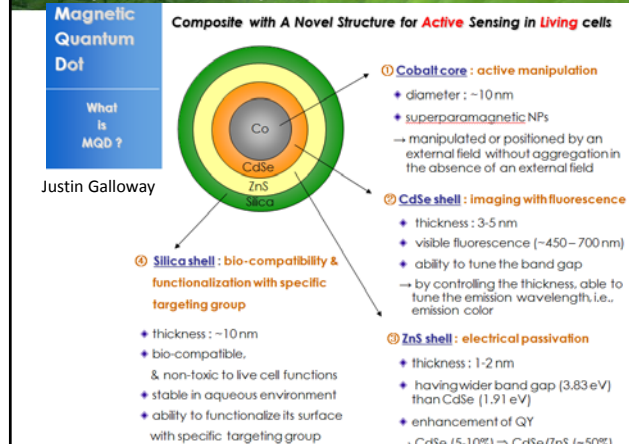


**Figure 1.**  
Anatomical structure of *Hydra vulgaris*.  
http://www.intechopen.com/books/biomedical-engineering-from-theory-to-applications-model-organisms-to-test-in-vivo-novel-functional-nanocrystals

**Figure 18.**  
Labelling Hydra with nanocrystals

61

## Sferyczne kropki kwantowe



2013-02-27

62

## Sferyczne kropki kwantowe w biol-med

- [1] Kawasaki et al. Nanotechnology, nanomedicine, and the development of new, effective therapies for cancer. *Nanomedicine: Nanotechnology, Biology, and Medicine*. 2005; 1:101, 109
- [2] Alivisatos, et al. Quantum dots as cellular probes. *Annu. Rev. Biomed. Eng.* 2005; 7:55-76.
- [3] Chan et al. Luminescent quantum dots for multiplexed biological detection and imaging. *Current opinion in biotechnology*. 2002; 13:40-46
- [4] Michalet et al. Quantum dots for live cells, in vivo imaging, and diagnostics. *Science*. 2005; 307(5709): 538-544.
- [5] Alivisatos A.P. Semiconductor clusters, nanocrystals, and quantum dots. *Science*. 1996; 271: 933-937.
- [6] Gao et al. In vivo molecular and cellular imaging with quantum dots. *Current opinion in biotechnology*. 2005; 16:63-72.
- [7] Shin et al. Nanoscale controlled self-assembled monolayers and quantum dots. *Current opinion in chemical biology*. 2006; 10(5): 423-429.
- [8] Rogach et al. Infrared-emitting colloidal nanocrystals: synthesis, assembly, spectroscopy, and applications. *Small*. 2007; 3(4): 536-557.
- [9] Weng, et al. Luminescent quantum dots: a very attractive and promising tool in biomedicine. *Current medicinal chemistry*. 2006; 13: 897-909.
- [10] Fu, et al. Semiconductor nanoparticles for biological imaging. *Current opinion in neural biology*. 2005; 15:568-575.
- [11] Hardman R. A toxicologic review of quantum dots: toxicity depends on physicochemical and environmental factors. *Environmental Health Perspectives*. 2006; 114(2): 165-172.

2013-02-27

63